

تحلیل فراوانی منطقه‌ای جریان کم در حوزه آبخیز کارون شمالی

* مریم شماعی زاده و سعید سلطانی^۱

(تاریخ دریافت: ۱۳۹۱/۱۱/۱۵؛ تاریخ پذیرش: ۱۳۹۲/۰۵/۱۶)

چکیده

خشکسالی هیدرولوژیک معمولاً بر منطقه وسیعی تأثیر گذار است و جریان حداقل رودخانه‌ای شاخص مناسبی برای مطالعه خشکسالی هیدرولوژیک است. در این تحقیق جهت پیش‌بینی خشکسالی هیدرولوژیک در حوزه آبخیز کارون شمالی، ۱۴ ایستگاه با طول دوره آماری مناسب و آمار ثبت شده تا سال آبی ۱۳۸۷-۸۸ انتخاب شد و ۱۳ خصوصیت فیزوگرافی و اقلیمی از ایستگاه‌های منتخب برای انجام آزمون همگنی به روش تحلیل خوش‌های سلسله مراتبی مد نظر قرار گرفت. سپس سری زمانی جریان حداقل ۷ روزه، برای هر ایستگاه محاسبه شد و بر اساس آزمون‌های نکوبی برازش کای اسکوئر و کلموگراف اسمیرنوف و همچنین محاسبه آماره Z^{DIST} توزیع گامای ۲ پارامتره به عنوان بهترین توزیع منطقه‌ای شناسایی گردید و دبی جریان حداقل ۷ روزه با دوره های بازگشت ۵، ۱۰، ۲۰، ۵۰ و ۱۰۰ سال با استفاده از نرم‌افزار **FREQ** در هر ایستگاه برآورد گردید. سپس تحلیل منطقه‌ای جریان کم به روش رگرسیون چند متغیره انجام شد. به علاوه با ترسیم منحنی تداوم جریان در هر ایستگاه، شاخص Q_{95} نیز برای هر ایستگاه استخراج گردید و نقشه‌های ناحیه‌بندی شاخص‌های Q_{95} ، $Q_{7,10}$ و $Q_{7,2}$ تهیه شد. نتایج تحلیل منطقه‌ای نشان داد که ارتفاع متوسط و شبکه متوسط حوزه آبخیز کارون شمالی از عوامل مؤثر بر جریان حداقل در این حوزه می‌باشند. همچنین بررسی نقشه‌های ناحیه‌بندی جریان حداقل نیز نشان داد از میان نواحی که بیشتر خشکسالی را تجربه می‌کنند گستره جنوب شرقی حوزه، خشکسالی شدیدتری را نسبت به سایر نقاط تجربه می‌کند.

واژه‌های کلیدی: خشکسالی هیدرولوژیک، جریان حداقل، تحلیل منطقه‌ای، رگرسیون چند متغیره، ناحیه‌بندی جریان حداقل

۱. گروه بیابان زدایی، دانشکده مهندسی منابع طبیعی، دانشگاه صنعتی اصفهان

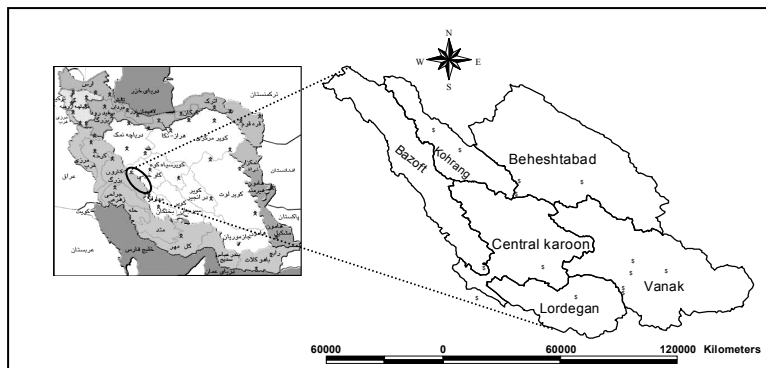
* مسئول مکاتبات، پست الکترونیکی: ssoltani@cc.iut.ac.ir

مقدمه

کردن خصوصیات جریان حداقل معمولاً بر پایه ایجاد روابط رگرسیونی بین مقدار جریان حداقل و خصوصیات حوزه‌های آبخیزی که اندازه‌گیری جریان در آن‌ها صورت نگرفته، می‌باشد (۱۸). از این رو بسیاری از محققین در تلاش هستند تا خصوصیات مختلف توپوگرافی، اقلیمی، ژئولوژیکی و ژئومورفیک از حوزه‌های آبخیز را به جریان‌های کم ارتباط بدهند. این تلاش‌ها شامل استفاده از تکنیک رگرسیون چند متغیره، روش جریان کم شاخص، منطقه‌ای کردن پارامترهای توزیع، استفاده از روش‌های میانیابی جریان حداقل و دیگر روش‌های منطقه‌ای کردن جریان حداقل می‌شود (۱۵ و ۱۶). در اکثر تحقیقات صورت گرفته در جهان، از روش رگرسیون چند متغیره برای برقراری ارتباط بین جریان کم و خصوصیات حوزه‌ها استفاده شده‌است. در تحقیقات اخیر استفاده از روش "شاخص سیلاب" که بیشتر برای مطالعات منطقه‌ای سیلاب کاربرد دارد، نیز به چشم می‌خورد. پایلوون در تحلیل منطقه‌ای جریان کم روش شاخص سیلاب را با فرض این‌که توزیع منطقه‌ای ویبول سه پارامتره باشد، به کار برد (۱۸). هم‌چنین آربلائز و کاسترو نیز در کلمبیا با استفاده ازتابع ویکبی روش شاخص سیلاب را برای تحلیل فراوانی منطقه‌ای جریان حداقل به کار بستند. در این روش فرض کردند که تابع توزیع احتمال دبی در سراسر منطقه یکسان است و در نتیجه از تمامی داده‌های ثبت شده به عنوان یک سری زمانی طولانی مدت استفاده نمودند. آنان از مساحت حوزه برای استاندارد کردن داده‌های دبی استفاده کردند و پس از این مرحله داده‌ها را به تابع منتخب منطقه‌ای (تابع ویک بی) برآش دادند (۱۱).

برخی محققین نیز مانند سمیعی، زهتابیان و همکاران و بیانکی در مطالعات خود به مقایسه این دو روش یعنی استفاده از معادلات رگرسیونی و جریان کم شاخص پرداخته‌اند و روش رگرسیون چند متغیره را مناسب‌تر از روش جریان کم شاخص دانستند (۴ و ۶ و ۸). به نظر می‌رسد در روش رگرسیون چندمتغیره به دلیل استفاده از خصوصیات بیشتری از حوزه آبخیز در تعیین معادلات منطقه‌ای، تخمین‌های صحیح‌تری از جریان

خشکسالی هیدرولوژیک از طریق کاهش میزان ذخیره آب دریاچه‌ها، پایین رفتن سطوح آب‌های زیرزمینی و کاهش دبی جریان رودخانه‌ای تشخیص داده می‌شود و معمولاً بر منطقه وسیعی تأثیر می‌گذارد (۱). جریان حداقل یا جریان کم رودخانه ای یکی از شاخص‌های مورد استفاده در مطالعه خشکسالی هیدرولوژیک است. فرهنگ بین المللی هیدرولوژی جریان کم را به عنوان جریان آب رودخانه در طول آب و هوای خشک طولانی مدت تعریف می‌کند (۱۹). ولی تعریف عمومی‌تر آن کمترین جریان متوسط در چند روز پیاپی از قبیل ۵، ۷، ۱۵، ۳۰، ...، ۱۸۰ روزه در طول یک سال است. علت محاسبه جریان کم برای روزهای پیاپی به حداقل رساندن اثر تغییرها و نوسانات جریان است (۱۹ و ۲۰). در تخمین جریان حداقل در حوزه‌هایی با طول دوره آماری کوتاه‌مدت و حوزه‌های فاقد ایستگاه‌های اندازه‌گیری جریان همواره با مشکلاتی روبرو هستیم. در تحلیل فراوانی سیلاب برای کاهش برخی از این مشکلات از روش‌های منطقه‌ای کردن تحلیل فراوانی استفاده می‌کنند و این در حالی است که در مورد تخمین جریان حداقل در حوزه‌های فاقد آمار مناسب نیز می‌توان از روش منطقه‌ای بهره برد (۱۲). در تحلیل منطقه‌ای روابط یا منحنی‌هایی برای کل منطقه به دست می‌آید و با داشتن برخی از ویژگی‌های حوزه در محل‌هایی که اندازه‌گیری جریان صورت نمی‌گیرد جریان در محل مورد نظر تعیین می‌شود. بنابراین در برنامه‌ریزی‌های مدیریت منابع آب و مسائل زیست محیطی بایستی به تحلیل منطقه‌ای خشکسالی و جریان‌های کم رودخانه‌ای توجه ویژه مبذول داشت. برخی از شاخص‌های جریان کم از منحنی تداول جریان استخراج می‌شوند و برخی دیگر شاخص‌های استخراجی از سری‌های زمانی هستند (۱۳). بسیاری از تحقیقات از جمله تحقیقات توماس و کرویون، تاسکر، پارکر، دینگمن، مالی و اوگاوا، کرویون و همکاران جهت ایجاد مدل‌های منطقه‌ای جریان حداقل برای تهیه اطلاعات در مناطق اندازه‌گیری نشده جریان، پایه‌گذاری شده‌اند (۱۴ و ۲۰). منطقه‌ای



شکل ۱. موقعیت حوزه آبخیز کارون شمالی، زیرحوزه‌های اصلی و ایستگاه‌های منتخب آن

داده‌های مورد استفاده

از بین ایستگاه‌های هیدرومتری در داخل حوزه آبخیز کارون شمالی ۱۳ ایستگاه که دارای طول دوره آماری مناسب (حداقل ۱۰ سال آماری پیوسته) بودند و آمار دبی روزانه آنها تا سال آبی ۱۳۸۷-۸۸ ثبت شده بود انتخاب شدند. از آنجا که این تحقیق به صورت منطقه‌ای انجام می‌شود ایستگاه بارز که در خارج از مرز حوزه ولی نزدیک نقطه خروجی حوزه بود بهدلیل داشتن آمار طولانی مدت و همچنین افزایش تعداد ایستگاه‌ها با هدف افزایش دقت تحلیل فراوانی به جمع ایستگاه‌های منتخب افزوده شد.

برخی از شاخص‌های جریان کم مانند Q_{95} و Q_{90} منحنی تداوم جریان نشان‌دهنده فراوانی و قوع برای دبی جریان رودخانه‌ای است و درصدی از زمان که یک دبی انتخابی برابر یا مت加وز از مقدار انتخابی است را معین می‌کند (۱۴). شاخص Q_{95} در مقیاس ماهانه و روزانه قابل محاسبه می‌باشد که در این تحقیق Q_{95} در مقیاس روزانه برای ۱۴ ایستگاه منتخب در منطقه مورد مطالعه محاسبه گردید. اما از آنجا که این شاخص توالی جریان حداقل را نشان نمی‌دهد. می‌توان برای تحلیل جریان حداقل از شاخص‌های استخراجی از سری‌های زمانی جریان حداقل با دوره‌های بازگشت مختلف بهره برد.

برای محاسبه جریان حداقل سالانه با تداوم ۷ روزه از میانگین متحرک ۷ روزه برای داده‌های دبی متوسط روزانه استفاده می‌کنیم. برای این‌منظور از ۷ داده اول میانگین گرفته می‌شود و این مقدار در مقابل داده ثبت شده برای روز چهارم

در حوزه‌های فاقد آمار انجام می‌گیرد. تحقیقات انجام شده درمورد جریان کم نشان می‌دهد که در دهه‌های اخیر بررسی جریان‌های کم در تحلیل خشکسالی هیدرولوژیک مورد توجه محققین بسیاری قرار گرفته است. با توجه به مطالب ذکر شده درخصوص اهمیت خشکسالی هیدرولوژیک و جریان کم رودخانه‌ها در دوره‌های خشکسالی، هدف از انجام این تحقیق دست‌یابی به مقادیر جریان کم با دوره‌های بازگشت مختلف از طریق برآذش تابع توزیع منطقه‌ای مناسب به داده‌های جریان کم در حوزه آبخیز کارون شمالی و میانیابی شاخص‌های منتخب جریان حداقل در این حوزه می‌باشد.

مواد و روش

موقعیت منطقه مورد مطالعه

حوزه آبخیز کارون شمالی بخشی از حوزه آبخیز بزرگ کارون می‌باشد و در محدوده جغرافیایی $34^{\circ} 47' 51''$ تا $34^{\circ} 49' 0''$ طول شرقی و $40^{\circ} 31' 0''$ تا $40^{\circ} 32' 0''$ عرض شمالی قرار دارد کارون شمالی 14476 کیلومترمربع بوده که در حدود 23 درصد از سطح حوزه بزرگ کارون را شامل می‌شود. منطقه مورد مطالعه به دلیل توپوگرافی شدید و وجود مناطق برفگیر از پرآب‌ترین مناطق کشور می‌باشد، به طوری که سرچشمه مهم‌ترین رودخانه کشور یعنی کارون می‌باشد لذا این حوزه در مدیریت منابع آب کشور از جایگاه ویژه‌ای برخوردار است (۱۰). شکل شماره (۱) موقعیت این حوزه را در ایران نشان می‌دهد.

جدول ۱. مشخصات ایستگاه‌های هیدرومتری مورد استفاده در حوزه آبخیز کارون شمالی

| ردیف | کد حوزه | نام ایستگاه | رودخانه | طول جغرافیایی | عرض جغرافیایی | طول دوره آماری | ارتفاع (m) |
|------|---------|-------------|-----------|---------------|---------------|----------------|------------|
| ۱ | ۲۱۱۲۳۱ | ارمند | کارون | ۵۰° ۴۶' | ۳۱° ۴۰' | ۴۸ | ۱۰۸۲ |
| ۲ | ۲۱۱۲۲۹ | گدار بک | آبگان | ۵۱° ۱۵' | ۳۱° ۴۴' | ۲۰ | ۲۱۵۰ |
| ۳ | ۲۱۱۴۱۹ | دزک آباد | بیرگان | ۵۰° ۱۹' | ۳۲° ۱۴' | ۲۱ | ۲۱۲۲ |
| ۴ | ۲۱۱۴۹۷ | کوه سوخته | کبار | ۵۱° ۴۰' | ۳۲° ۰۶' | ۱۹ | ۱۹۷۷ |
| ۵ | ۲۱۱۹۲۹ | گرد بیشه | گرد بیشه | ۵۱° ۱۲' | ۳۱° ۳۴' | ۱۲ | ۱۸۱۸ |
| ۶ | ۲۱۱۹۳۱ | آب ونک | پل کره بس | ۵۱° ۱۲' | ۳۱° ۳۲' | ۱۲ | ۱۷۸۲ |
| ۷ | ۲۱۱۴۱۷ | ماربره | ماربره | ۵۰° ۱۲' | ۳۲° ۰۵' | ۱۲ | ۲۲۶۰ |
| ۸ | ۲۱۱۴۳۱ | خان میرزا | زرین درخت | ۵۰° ۵۷' | ۳۱° ۳۲' | ۱۶ | ۱۷۹۴ |
| ۹ | ۲۱۱۲۲۷ | سولگان | سولگان | ۵۱° ۱۴' | ۳۱° ۳۸' | ۲۷ | ۲۰۸۶ |
| ۱۰ | ۲۱۱۴۲۳ | تنگ زرد آلو | کاسگان | ۵۱° ۳۵' | ۳۱° ۲۸' | ۲۲ | ۲۱۵۰ |
| ۱۱ | ۲۱۱۴۲۹ | تنگ | جونقان | ۵۰° ۳۹' | ۳۲° ۰۶' | ۲۰ | ۱۹۹۶ |
| ۱۲ | ۲۱۱۲۳۳ | مرغک | بازفت | ۵۰° ۲۷' | ۳۱° ۳۹' | ۳۴ | ۹۱۳ |
| ۱۳ | ۲۱۱۴۲۵ | بهشت آباد | بهشت آباد | ۵۰° ۳۸' | ۳۲° ۰۲' | ۱۶ | ۱۶۸۰ |
| ۱۴ | ۲۱۱۲۲۵ | بارز | خرسان | ۵۰° ۲۵' | ۳۱° ۳۱' | ۴۷ | ۸۶۲ |

بررسی همگنی منطقه مورد مطالعه

تحلیل منطقه‌ای براساس مفهوم همگنی منطقه‌ای صورت می‌پذیرد. در نتیجه قبل از هرگونه تحلیل فراوانی منطقه‌ای بايستی از همگن بودن منطقه مورد مطالعه اطمینان حاصل کرد. با تقسیم منطقه به بخش‌های همگن، انتقال اطلاعات با دقت بیشتری صورت می‌گیرد. در این تحقیق جهت بررسی همگنی منطقه مورد مطالعه از خصوصیات فیزیوگرافی و اقلیمی منطقه مورد مطالعه و روش تحلیل خوش‌های سلسله مراتبی بهره گرفته شد. به جهت کسب اطمینان بیشتر از همگنی منطقه مورد مطالعه آماره همگنی H نیز برای منطقه مورد مطالعه محاسبه شد. آماره همگنی H دارای ۳ معیار H1، H2 و H3 است که چنان‌چه مقدار آن از یک کمتر باشد منطقه همگن و اگر بین یک و دو باشد منطقه نسبتاً همگن و چنان‌چه بیشتر از سه باشد منطقه ناهمگن است. در عمل عنوان می‌شود که معیار H1 به منظور این آزمون مناسب‌تر است.

یادداشت می‌شود. در مرحله بعدی از داده‌های روزهای دوم تا هشتم در سال آبی مدنظر میانگین گرفته می‌شود و میانگین در برابر داده روز پنجم یادداشت می‌شود و این روند به همین ترتیب ادامه پیدا می‌کند. سپس کمترین مقدار در ستون مقادیر میانگین متحرک به عنوان جریان حداقل ۷ روزه در سال آبی مورد نظر انتخاب می‌شود. وقتی مقدار جریان حداقل سالانه برای تمام سال‌های آبی در هر ایستگاه استخراج شد در هر ایستگاه سری زمانی جریان حداقل ۷ روزه را خواهیم داشت.

بررسی همگنی داده‌ها در هر ایستگاه

قبل از اقدام به تحلیل داده‌ها لازم است که از کیفیت داده‌ها و هم‌چنین کامل بودن سری داده‌ها اطمینان حاصل نمود چرا که بدون ارزیابی صحیح داده‌ها، از انجام تحلیل‌های آماری نتایج قابل اطمینانی به دست نمی‌آید. لذا همگنی داده‌های سری زمانی جریان حداقل در هر ایستگاه با استفاده از آزمون ران تست در نرم‌افزار SPSS مورد بررسی قرار گرفت.

روش‌هایی برای پرکردن فضای خالی بین نقاط اندازه‌گیری شده استفاده کرد. این روش تخمین میان‌یابی نامیده می‌شود. روش‌های میانیابی متداول عبارتند از نزدیک‌ترین هم‌جوار، میانگین محلی، ارزش‌گذاری فاصله معکوس، ترازیابی، کریجینگ، مثلث‌بندی و برازش چند جمله‌ای. روش استفاده در این تحقیق روش میان‌یابی کریجینگ است. کریجینگ به عنوان بهترین تخمین زن نا اریب خطی شناخته می‌شود و از مهم‌ترین ویژگی‌های آن می‌توان به امکان دست‌یابی به خطای مرتبط با هر تخمین اشاره کرد^(۸).

روش کریجینگ

بهترین تخمین خطی زمانی انجام می‌گیرد که تخمین نا اریب باشد و کمترین واریانس را داشته باشد. تخمین گر کریجینگ به صورت روبرو تعریف می‌شود:

$$Z_{(x_i)}^* = \sum_{i=1}^n \lambda_i Z_{(x_i)}$$

که در آن Z^* تخمین متغیر Z در نقطه x_0 و وزن‌های آماری اختصاص یافته به مقادیر Z در نقاط x_i و n تعداد نمونه به کار رفته در کریجینگ می‌باشد^(۹, ۱۰).

نتایج و بحث

در این تحقیق جریان حداقل ۷ روزه مورد تحلیل فراوانی منطقه‌ای قرار گرفت. علت استفاده از تداوم ۷ روزه این است که در تداوم‌های ۱ و ۳ روزه تا حدودی اثر جریان‌های صفر تشدید می‌شود و تداوم‌های ۱۵، ۳۰ و ۶۰ روزه هم باعث بالاتر تخمین زدن نتایج خواهند شد. پس از تشکیل سری زمانی جریان کم ۷ روزه در تمامی ایستگاه‌های منتخب آزمون همگنی داده‌ها در هر ایستگاه از طریق ازمون توالی و به کمک نرم‌افزار SPSS انجام گرفت و از آنجا که P-value بزرگ‌تر از ۰/۰۱ است همگنی ایستگاه‌ها در سطح اعتماد ۹۹٪ محقق گردید.

نتایج تحلیل خوش‌های سلسله مراتبی

هدف از انجام تحلیل خوش‌های سلسله مراتبی گروه‌بندی

انتخاب مناسب‌ترین توزیع منطقه‌ای

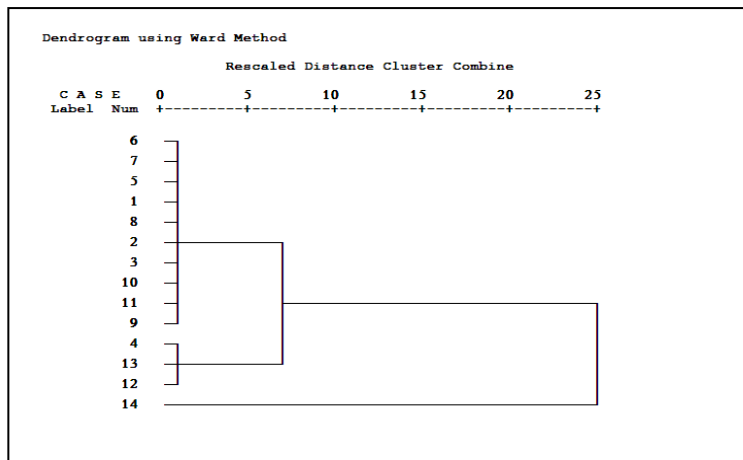
در تحلیل فراوانی منطقه‌ای مبحث توزیع مناسب منطقه‌ای مطرح می‌گردد و این توزیع، توزیعی است که در مجموع بهترین برازش را بر ایستگاه‌های موجود در یک منطقه همگن هیدرولوژیکی دارد باشد. لذا برای انتخاب بهترین توزیع منطقه‌ای می‌توان از روش امتیازدهی استفاده کرد. متداول ترین روش‌های نکوئی برازش در تحقیقات مختلف شامل آزمون‌های کای-اسکوئر، کلموگروف- اسمیرنوف (۷) و محاسبه مجموع مربعات باقی‌مانده (۹) می‌باشد. در این تحقیق با استفاده از آزمون‌های کای-اسکوئر و کلموگروف- اسمیرنوف ۴ توزیعی که در هر ایستگاه بهترین برازش را بر منطقه داشتند امتیازدهی شدند و سپس با برآورده امتیاز توزیع‌های اطمینان یافته‌تر انتخاب توزیع منطقه‌ای انتخاب گردید. برای اطمینان بیشتر انتخاب توزیع منطقه‌ای از طریق آزمون نکوئی Z^{DIST} برازش در روش هاسکینگ و والیس، یعنی محاسبه آماره Z^{DIST} نیز صورت گرفت.تابع توزیع منطقه‌ای مناسب تابعی است که در آن $1/64 | Z^{\text{DIST}} |$ باشد.

تحلیل فراوانی جریان کم در ایستگاه‌ها

در این مرحله با استفاده از نرم‌افزار FREQ توزیع منطقه‌ای منتخب بر سری زمانی جریان حداقل ۷ روزه در هر ایستگاه برازش داده شد و پس از برآورده پارامترهای توزیع به روش حداقل‌درستنمایی، مقدار جریان کم برای دوره‌های بازگشت ۵، ۱۰، ۲۰، ۵۰ و ۱۰۰ سال محاسبه گردید و از این مقادیر به عنوان متغیر وابسته و از مقدار کمی خصوصیات فیزیوگرافی حوزه آبخیز کارون شمالی به عنوان متغیر مستقل در ایجاد مدل منطقه‌ای جهت پیش‌بینی جریان حداقل در منطقه مورد مطالعه بهره گرفته شد.

ناحیه‌بندی شاخص‌های خشکسالی

گسترش سیستم‌های اطلاعات جغرافیایی در ارتباط با آمار فضایی سبب شده تا روش‌های میان‌یابی در تهیه انواع نقشه‌های پهنه‌بندی رواج یابد^(۱۱). در هنگام ترسیم نقشه‌ها بایستی از



شکل ۲. نمودار درختی گروه‌بندی ایستگاه‌ها به روش خوشبندی سلسله مراتبی

ایستگاه و رتبه‌بندی توابع استفاده شده است.

در جدول ۳ مشاهده می‌کنید که براساس هر دو روش کای-اسکوئر و کلموگروف-اسمیرنوف امتیازات توزیع گامای دو پارامتره نسبت به دیگر توزیع‌ها بالاتر است. علاوه بر این محاسبه آماره Z^{DIST} هاسکینگ و والیس با استفاده از برنامه نوشته شده به زبان FORTRAN برای تعدادی از توابع انجام گرفت و با توجه به جدول ۴ از آنجا که قدر مطلقتابع گامای ۲ پارامتره از دیگر توابع کوچکتر است توزیع گامای دو پارامتره به عنوان مناسب‌ترین توزیع منطقه‌ای در حوزه آبخیز کارون شمالی انتخاب شد.

تحلیل فراوانی جریان کم در ایستگاه‌ها

در این مرحله توزیع گامای دو پارامتره که به عنوان توزیع مناسب منطقه‌ای بر داده‌های سری زمانی جریان حداقل ۷ روزه ایستگاه‌ها برازش داده شده است و پس از برآورد پارامترهای توزیع به روش حداکثر درست‌نمایی، مقدار جریان کم برای دوره‌های بازگشت مختلف محاسبه گردیده است (جدول ۵).

نتایج تحلیل منطقه‌ای جریان کم

به‌منظور تحلیل منطقه‌ای جریان کم از روش ایجاد ارتباط بین جریان کم با دوره‌های بازگشت مختلف و خصوصیات حوزه، استفاده شد. در این روش دبی‌های حاصل از تحلیل فراوانی که

ایستگاه‌های منتخب داخل مناطق همگن است. در این تحقیق برای تعیین گروه‌ها از ۱۳ خصوصیت فیزیوگرافی و اقلیمی منتخب ایستگاه‌ها استفاده شد. نتیجه تحلیل خوشبندی را در نمودار درختی شکل ۲ مشاهده می‌کنید:

معیار تعیین مناطق همگن، مقدار فاصله واقعی یا فاصله مقیاس‌بندی شده (در فاصله ۱ تا ۲۵) است. برای تعیین مناطق همگن فاصله ۷ انتخاب شد. با در نظر گرفتن این فاصله حوزه آبخیز کارون شمالی بدون در نظر گرفتن حوزه بارز (حوزه شماره ۱۴) یک منطقه مطالعاتی همگن است. لذا انجام تحلیل منطقه‌ای جریان حداقل در این حوزه مطالعاتی با خارج کردن این ایستگاه از مجموع ایستگاه‌های دیگر، با توجه به همگن‌بودن منطقه بلامانع می‌باشد. از طرفی به جهت کسب اطمینان بیشتر در مورد همگنی منطقه مورد مطالعه آماره همگنی هاسکینگ و والیس (Hi) نیز برای ۱۳ ایستگاه باقی‌مانده مورد محاسبه قرار گرفت و مقادیر زیر بدست آمد.

از آنجا که مقدار H_1 کمتر از یک می‌باشد لذا همگنی منطقه مورد مطالعه تأیید می‌شود. در این تحقیق از نرم‌افزار FREQ برای انتخاب بهترین توزیع منطقه‌ای استفاده شد و از آنجا که این نرم‌افزار قادر به انجام آزمون‌های نکوبی برازش کای-اسکوئر و کلموگروف-اسمیرنوف است، لذا از این دو آزمون جهت انتخاب مناسب‌ترین تابع توزیع احتمال در هر

جدول ۲. نتایج آزمون همگنی داده‌ها در هر ایستگاه

| P_value | ایستگاه | P_value | ایستگاه |
|---------|-------------|---------|----------------|
| ۱/۰ | سولکان | ۰/۰۸ | کوه سوخته |
| ۰/۰۳ | پل کره بس | ۰/۰۸ | تنگ درکش و رکش |
| ۰/۲۱ | گرد بیشه | ۰/۱۵ | بهشت آباد |
| ۰/۰۲ | تنگ زرد آلو | ۰/۰۷ | دزک آباد |
| ۰/۵۸ | مرغک | ۰/۷۶ | ماربره |
| ۰/۳۴ | زرین درخت | ۱/۰ | ارمند |
| ۰/۰۱ | بارز | ۰/۱۳ | گدار کبک |

جدول ۳. امتیازات محاسبه شده برای توزیع‌های مختلف

| تابع / روش | مقادیر حدی | پیرسون III | لوگ نرمال | لوگ پیرسون | تعییم یافته | حد نهایی I | تعییم یافته | پارتو | ویبول |
|-------------------|------------|------------|-----------|------------|-------------|------------|-------------|-------|------------|
| کای اسکوثر | ۱۹ | ۱۱ | ۸ | ۲۱ | ۲۲ | ۱۹ | ۱۹ | ۱۹ | ۲۱ |
| کلموگراف اسمیرنوف | ۷ | ۱ | ۲ | ۴ | ۵ | ۵ | ۵ | ۵ | ۱۰ |
| تابع / روش | نرمال | نمایی | لوجستیک | لوگ نرمال | گاما | ۲۲ | ۲۱ | ۱۹ | لوگ پیرسون |
| کای اسکوثر | ۲۱ | ۹ | ۲۱ | ۲۷ | ۲۹ | ۲۹ | ۲۷ | ۲۱ | ۱۶ |
| کلموگراف اسمیرنوف | ۲۳ | ۸ | ۲۱ | ۲۱ | ۲۴ | ۲۴ | ۸ | ۱۱ | ۱۱ |

جدول ۴. آزمون نکویی برآش آماره Z^{DIST} برای منطقه مورد مطالعاتی

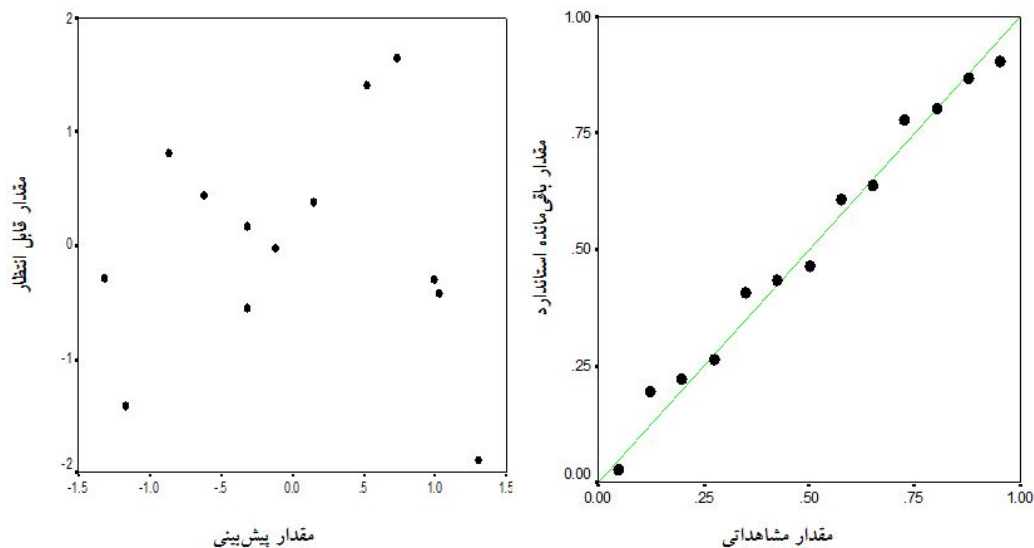
| منطقه مطالعاتی | GLOG | GEV | GAMMA | P _r | GPAR |
|------------------|------|-------|-------|----------------|-------|
| حوزه کارون شمالی | ۱/۲۲ | -۰/۷۵ | -۰/۶۶ | -۰/۹۴ | -۴/۷۹ |

بازگشت مختلف در سطح اعتماد ۹۵ درصد انتخاب گردید. در ادامه برای بررسی صحت مدل‌ها، نمودار پراکندگی مانده‌ها در مقابل (که در اینجا همان مقادیر برآورده از معادله رگرسیون حاصله هستند) ترسیم گردید. مانده‌های استاندارد بین -۲ و +۲ تغییر می‌کنند و هیچ روند مشخصی را دنبال نمی‌کنند. بررسی نمودار احتمال نرمال مانده‌ها و نمودار پراکندگی باقیمانده‌ها در مدل‌های به دست آمده، حاکی از مناسب بودن این مدل‌ها می‌باشد. شکل ۳ نمودارهای احتمال نرمال و پراکندگی باقیمانده‌ها را در مدل به دست آمده با دوره بازگشت ۵ سال نشان می‌دهد.

TOSMET نرم‌افزار FREQ محاسبه گردید به عنوان متغیر وابسته و خصوصیات فیزیوگرافی و اقلیمی استخراج شده از ایستگاه‌های مختلف حوزه آبخیز کارون شمالی در حالت‌های مختلف (لگاریتمی و غیرلگاریتمی) به عنوان متغیر مستقل جهت انتخاب بهترین مدل در نرم‌افزار SPSS استفاده گردید. ترکیبات مختلفی از پارامترهای مذکور برای ورود به مدل رگرسیون با استفاده از روش گام‌به‌گام مورد بررسی قرار گرفتند و با بررسی ضرایب همبستگی، ضرایب تبیین اصلاح شده و خطاهای استاندارد در مدل‌های مختلف بهترین مدل منطقه‌ای برای پیش‌بینی جریان حداقل در دوره‌های

جدول ۵. برآورد منطقه‌ای جریان کم ۷ روزه با دوره‌های بازگشت مختلف

| ردیف | نام ایستگاه | دوره بازگشت | | | | | |
|------|---------------|-------------|-------|-------|-------|-------|-------|
| | | ۱۰۰ | ۵۰ | ۲۰ | ۱۰ | ۵ | ۲ |
| ۱ | ارمند | ۲۰/۲۲ | ۲۲/۰۱ | ۲۳/۶۴ | ۲۵/۶۱ | ۲۸/۱۴ | ۳۳/۴۳ |
| ۲ | گدارکبک | ۰/۰۳ | ۰/۰۱ | ۰/۰۳ | ۰/۰۵ | ۰/۱۱ | ۰/۳۰ |
| ۳ | دزک آباد | ۰/۸۲ | ۰/۹۳ | ۱/۰۵ | ۱/۱۸ | ۱/۳۶ | ۱/۷۷ |
| ۴ | کوهسوخته | ۰/۰۴ | ۰/۰۸ | ۰/۱۴ | ۰/۲۳ | ۰/۳۸ | ۰/۸۲ |
| ۵ | گردبیشه | ۰/۳۰ | ۰/۳۳ | ۰/۳۶ | ۰/۳۹ | ۰/۴۳ | ۰/۵۳ |
| ۶ | پل کره بس | ۰/۹۴ | ۱/۰۸ | ۱/۲۱ | ۱/۳۷ | ۱/۵۸ | ۲/۰۶ |
| ۷ | ماربره | ۰/۱۸ | ۰/۲۱۸ | ۰/۲۵ | ۰/۳۰ | ۰/۳۷ | ۰/۵۳ |
| ۸ | زرین درخت | ۰/۰۱ | ۰/۰۱ | ۰/۰۱ | ۰/۰۱ | ۰/۰۱ | ۰/۰۵ |
| ۹ | سولگان | ۰/۰۱ | ۰/۰۳ | ۰/۰۷ | ۰/۱۶ | ۰/۳۵ | ۱/۰۴ |
| ۱۰ | تنگ زردالو | ۰/۰۱ | ۰/۰۲ | ۰/۰۵ | ۰/۰۹ | ۰/۱۸ | ۰/۴۵ |
| ۱۱ | تنگ درکش ورکش | ۰/۰۱ | ۰/۰۱ | ۰/۰۱ | ۰/۰۱ | ۰/۰۳ | ۰/۱۵ |
| ۱۲ | مرغک | ۹/۰۱ | ۹/۹۲ | ۱۰/۷۶ | ۱۱/۷۸ | ۱۳/۱ | ۱۵/۸۸ |
| ۱۳ | بهشت آباد | ۰/۳۹ | ۰/۵۴ | ۰/۶۹ | ۰/۹۰ | ۱/۲۰ | ۱/۹۵ |



شکل ۳. نمودار احتمال نرمال باقیمانده‌ها (سمت راست) و نمودار باقیمانده‌های مدل منطقه‌ای جریان حداقل (سمت چپ) در دوره بازگشت ۵ سال

آبخیز کارون شمالی، منحنی تداوم جریان در ایستگاه‌های منتخب منطقه ترسیم شد. این منحنی را برای ایستگاه ارمند در شکل ۴ مشاهده می‌کنید. هم‌چنین میزان این شاخص در تمامی ایستگاه‌ها را در جدول ۷ مشاهده می‌کنید.

منحنی تداوم جریان در ایستگاه‌ها به منظور استخراج مقادیر Q₉₅، به عنوان حد آستانه خشکسالی هیدرولوژیک و تهیه نقشه میانیابی این شاخص در سطح حوزه

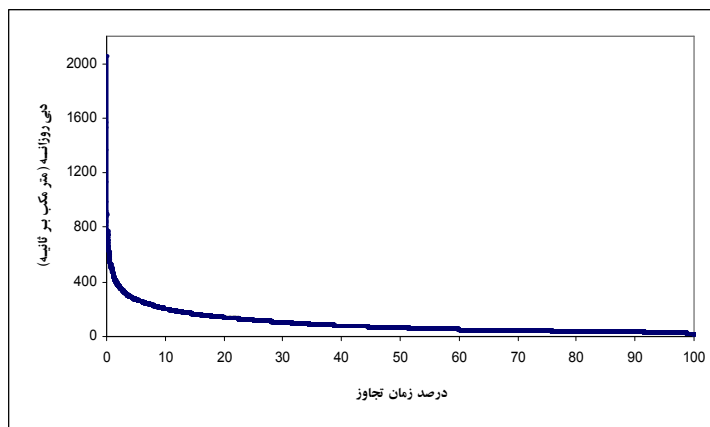
جدول ۶. مدل‌های منطقه‌ای برای پیش‌بینی جریان حداقل در دوره‌های بازگشت مختلف با سطح معنی‌داری ۵ درصد

| نقطای استاندارد | ضریب تبیین اصلاح شده | ضریب همبستگی | مدل منطقه‌ای |
|-----------------|----------------------|--------------|--|
| ۳/۵۱ | ۰/۸۱ | ۰/۹۲ | $Q_5 = ۳۵۵ / ۴۳ - ۱۰۶ / ۰۹ (\log hm) + ۰ / ۳۹۲ (wsa)$ |
| ۳/۱۹ | ۰/۸۱ | ۰/۹۲ | $Q_{10} = ۳۲۳ / ۷۴ - ۹۶ / ۶۶ (\log hm) + ۰ / ۳۶ (wsa)$ |
| ۲/۹۳ | ۰/۸۱ | ۰/۹۲ | $Q_{20} = ۲۹۸ / ۹۴ - ۸۹ / ۲۸ (\log hm) + ۰ / ۳۳ (wsa)$ |
| ۲/۸۱ | ۰/۸۰ | ۰/۹۱ | $Q_{50} = ۳۵ / ۰۲۴ + ۰ / ۳۳۸ (wsa) - ۰ / ۰۱۶ (hm)$ |
| ۲/۵۸ | ۰/۸۰ | ۰/۹۱ | $Q_{100} = ۳۲ / ۱۲۲ + ۰ / ۳۱ (wsa) - ۰ / ۰۱۵ (hm)$ |

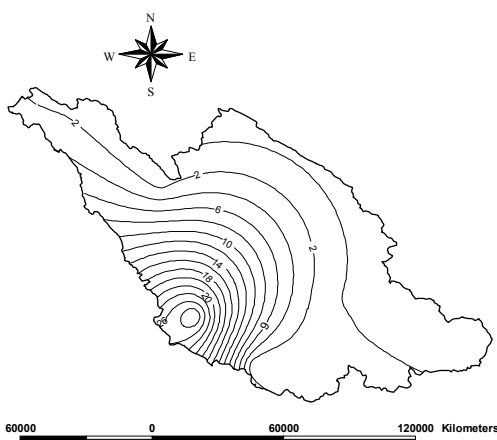
(hm): ارتفاع متوسط حوزه (wsa): شب متوسط حوزه

جدول ۷. مقادیر شاخص Q95

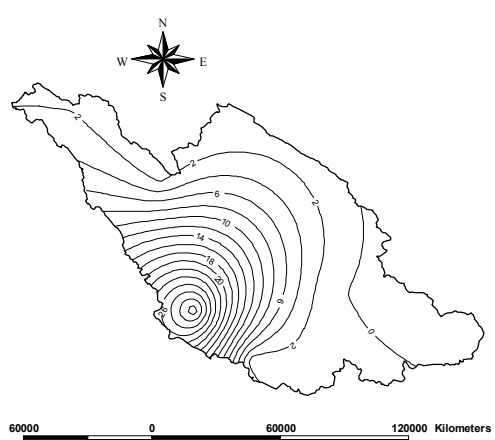
| نام ایستگاه | Q95 | نام ایستگاه | Q95 |
|-------------|------|---------------|------|
| ارمند | ۳۰/۲ | تنگ درکش ورکش | ۰/۱۸ |
| گدارکبک | ۰/۱۴ | زرین درخت | ۰/۰۲ |
| دزک آباد | ۱/۵۸ | سولگان | ۰/۲ |
| کوه سوخته | ۰/۶۸ | تنگ زردالو | ۰/۲۶ |
| گردبیشه | ۰/۴۷ | مرغک | ۱۵/۷ |
| پل کره بس | ۱/۷۱ | بهشتآباد | ۱/۶۷ |
| ماربره | ۰/۶ | | |



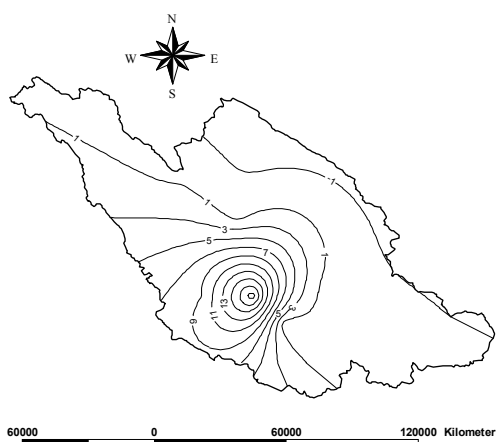
شکل ۴. منحنی شاخص Q95 در ایستگاه ارمند



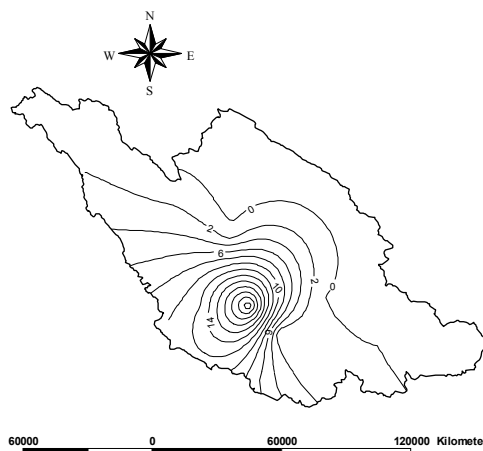
شکل ۶. نقشهٔ ناحیه‌بندی و خطوط هم مقدار شاخص $Q_{7,2}$



شکل ۵. نقشهٔ ناحیه‌بندی و خطوط هم مقدار شاخص Q_{95}



شکل ۸. نقشهٔ ناحیه‌بندی و خطوط هم مقدار شاخص $Q_{7,100}$



شکل ۷. نقشهٔ ناحیه‌بندی و خطوط هم مقدار شاخص $Q_{7,10}$

گرفت. نقشه‌های حاصل از این روش را در اشکال ۵ تا ۸ مشاهده می‌کنید:

نتیجه‌گیری

در این تحقیق بهمنظور دستیابی به مدل‌های منطقه‌ای مناسب برای پیش‌بینی جریان حداقل در حوزه‌های آبخیز بدون آمار دیهای حاصل از تحلیل فراوانی با دوره‌های بازگشت مختلف به عنوان متغیر وابسته و خصوصیات فیزیوگرافی و اقلیمی ایستگاه‌های مختلف به عنوان متغیر مستقل برای ورود به مدل رگرسیون چند متغیره در نظر گرفته شد. نتایج نشان داد که ارتفاع متوسط و شب متوسط حوزه آبخیز کارون شمالی از

ناحیه‌بندی منطقه‌ای بر اساس شاخص‌های جریان حداقل

در این قسمت سعی شد شاخص‌های محاسبه شده جریان حداقل ($Q_{7,2}$, $Q_{7,10}$, $Q_{7,100}$ و $Q_{7,10}$) به کمک روش میانیابی در سطح حوزه آبخیز کارون شمالی ناحیه‌بندی شوند. علت انتخاب جریان حداقل ۷ روزه با ۳ دوره بازگشت مذکور بررسی روند خشکسالی هیدرولوژیک از دوره‌های بازگشت پایین تا دوره‌های بازگشت بالا بود. به منظور ناحیه‌بندی شاخص‌ها ابتدا مقادیر شاخص‌ها به همراه طول و عرض جغرافیایی ایستگاه‌ها در worksheet نرم‌افزار SURFER ذخیره گردید و سپس با استفاده از روش کریجینگ ناحیه‌بندی صورت

حوزه با استفاده از شاخص Q95 شکل ۵، نشان می‌دهد که از جنوب‌غربی حوزه و در نزدیکی نقطه خروجی حوزه آبخیز کارون شمالی، به سمت شمال‌غربی، شمال، شمال‌شرقی، شرق و جنوب‌شرقی حوزه به تدریج از مقدار شاخص‌ها کاسته می‌شود و بر شدت خشکسالی افزوده می‌گردد. مقایسه نقشه‌های ناحیه‌بندی حداقل جریان ۷ روزه با دوره‌های بازگشت ۲، ۱۰ و ۱۰۰ سال نشان می‌دهد که با افزایش دوره بازگشت گستره نواحی مرطوب مرکزی و جنوب غربی حوزه با نفوذ هسته‌های متعدد خشکسالی از جوانب آن تحت تأثیر قرار گرفته و محدودتر شده‌است. به طور کلی با افزایش دوره بازگشت خشکسالی مقادیر جریان حداقل کاهش یافته و در نتیجه شدت خشکسالی در حوزه افزایش می‌یابد به طوری که در دوره‌های بازگشت زیاد خشکسالی مناطق وسیعی از حوزه را فرامی‌گیرد. از میان نواحی که بیشتر خشکسالی را تجربه می‌کنند نواحی جنوب‌شرقی حوزه خشکسالی شدیدتری را نسبت به سایر نقاط تجربه می‌کند. بنابراین این نواحی در معرض خسارات و صدمات اقتصادی-اجتماعی خشکسالی هیدرولوژیک قرار دارند و لذا در مطالعات منابع آب (تأسیسات آبی، برداشت آب از حوزه، آبرسانی و...) نیازمند توجه بیشتری می‌باشد.

عوامل مؤثر بر جریان حداقل در این حوزه می‌باشند. از طرفی عامل مساحت که در اکثر تحقیقات انجام گرفته در ایران و جهان به عنوان یک فاکتور کاملاً تأثیرگذار بر جریان حداقل رودخانه‌ای مطرح است، در این مطالعه از نقش مؤثری برخوردار نمی‌باشد. با توجه به کارستی بودن این حوزه آبخیز، بررسی منابع تحقیقاتی در این مورد مؤید این مسئله‌اند که در حوزه‌های کارستی مکانیسم تولید جریان سطحی نسبت به حوزه‌های غیرکارستی به دلیل زهکشی حوزه به طور چشمگیری کمتر است (۵ و ۱۰). لذا ویژگی‌های جریان حداقل (دبی جریان حداقل) معمولاً از طریق روش‌هایی که با استفاده از فاکتور مساحت حوزه تخمین زده می‌شود، منطبق نخواهد بود. از طرفی ویژگی‌های فیزیوگرافیک و آب و هوایی مناطق مختلف مطالعاتی، از منطقه‌ای به منطقه دیگر تغییر می‌کند و شکل معادلات به دست آمده در هر منطقه لزوماً با دیگر مناطق یکسان نیست. پس ممکن است متغیری که در مکانیسم تولید جریان حداقل در یک منطقه تأثیر زیادی دارد در منطقه‌ای دیگر از جهان اصلاً وارد معادلات نشود و این مسئله ضرورت انجام مطالعات منحصر به فرد برای هر منطقه مطالعاتی و عدم اکتفا به نتایج دیگر مطالعات را آشکار می‌سازد.

هم‌چنین بررسی نقشه ناحیه‌بندی جریان حداقل در سطح

منابع مورد استفاده

۱. اسلامیان، س.، ع. زارعی و ا. ابریشم‌چی. ۱۳۸۳. برآورد منطقه‌ای جریان کم رودخانه‌های حوزه آبریز مازندران، مجله علوم و فنون کشاورزی و منابع طبیعی (۱): ۲۷-۳۸.
۲. بیانکی، م. ۱۳۸۳. تحلیل جریان کم با استفاده از روش هیرید در حوزه آبخیز کرخه. پایان‌نامه کارشناسی ارشد مهندسی آب. دانشکده کشاورزی، دانشگاه صنعتی اصفهان.
۳. تالی، م. ۱۳۸۱. ارزیابی درون‌یابی به روش کریجنگ، مجله پژوهش‌های جغرافیایی. ۴۳: ۹۵-۱۰۸.
۴. زهتابیان، غ. ر. ک. نصرتی و ا. شهبازی. ۱۳۸۳. ارزیابی روش‌های تحلیل منطقه‌ای فراوانی جریان کمینه در مناطق خشک و نیمه‌خشک، مجله بیابان. ۹ (۱): ۱۱۱-۱۲۴.
۵. سراج‌زاده، ح. روش محاسبه دبی‌های حداقل. انتشارات یونسکو.
۶. سمیعی، م. ۱۳۸۲. تعمیم منطقه‌ای جریان کم آبی (مطالعه موردی استان تهران). پایان‌نامه کارشناسی ارشد بیابان‌دایی، دانشکده منابع طبیعی. دانشگاه تهران.

۷. علیزاده، ا. ۱۳۸۱. اصول هیدرولوژی کاربردی. چاپ پانزدهم، فصل هفدهم، انتشارات آستان قدس رضوی، مشهد.
۸. قاسمی، م. ۱۳۸۶. تعیین شاخص‌های خشکسالی هواشناسی و هیدرولوژیک در حوزه آبریز کرخه، پایان‌نامه کارشناسی ارشدمهندسی آب، دانشکده کشاورزی، دانشگاه صنعتی اصفهان.
۹. مهدوی، م. ۱۳۸۱. هیدرولوژی کاربردی (جلد دوم)، فصل دوم، انتشارات دانشگاه تهران.
۱۰. مهندسین مشاور یکم. ۱۳۶۷. مطالعات جامع احیا و توسعه کشاورزی و منابع طبیعی حوزه آبخیز شمالی رودخانه کارون، جلد سوم (آب‌های سطحی). معاونت طرح و برنامه.
11. Arbeláez, A. C. and L.M. Castro. 2007. Low flow regional analysis using Wakeby distribution in ungauged basin in Colombia. *J. Hydrology Days*: 198-208
12. Durrans, S. R. and S. Tomic. 1996. Regionalization of low flow frequency estimates: An Alabama case study, *J. American Water Resources Association* 32 (1): 23–37.
13. Fleig, A. K., Tallaksen L. M., Hisdal H. and S. Demuth. 2006. A global evaluation of streamflow drought characteristics *Hydrology and Earth System Sciences. J. Hydrol. Earth Syst. Sci.* 10: 535-552
14. Fennessey, N. and R. M. Vogel. 1990. Regional flow-duration curves for ungagged sites in Massachusetts, *J. Water Resources Planning and Management* 116(4): 530-549.
15. Laaha, G., J. Skoien and G. Blöschl. 2007. A comparison of Top-kriging and regional regression for low flow regionalization. *Geophysical research abstracts*, 9, 07015,1-2; ISSN1029-7006
16. Modarres, R. 2007. Regional frequency distribution type of low flow in north of iran by L-Moments. *J. Water Resources Management* 1573-1650 (Online)
17. Pilon, P.J. 1990. The Weibull distribution applied to regional low-flow frequency analysis. In: *Regionalization in Hydrology-Proceedings of the Ljubljana Symposium*, IAHS Publication 191: 227–237.
18. Önöz, B., and M. Bayazit. 2001. Power distribution for low streamflows. *J. Hydrologic Engineering*. 6 (5): 429-435
19. Parida BP, Kachroo RK. and DB. Shrestha.1998. Regional flood frequency analysis of Mahi-Sabarmati basin (Subzon 3-a) using index flood procedure with L-moments. *J. Water resource management* 12:1-12
20. Smakhtin, V. U. 2001. Low flow hydrology: A review, *J. Hydrology* 240:147-186.
21. Yu, P. S.T. C.Yang and C. W. Liu. 2002. A regional model of low flow for southern Taiwan. *J. Hydrological Processes* 16(10): 2017-2034.